

文章编号: 1000-5013(2008)02-0245-05

# 嗜麦芽窄食单胞菌产生的几丁质酶的特性

贺淹才, 刘爱花, 张荣奎, 刘治江

(华侨大学 材料科学与工程学院, 福建 泉州 362021)

**摘要:** 从土壤中筛选出一株产几丁质酶的革兰氏阴性细菌, 通过 16S rDNA 法对酶活力最高的菌株 C 进行鉴定, 确定为嗜麦芽窄食单胞菌(*S. maltophilia*)菌株。通过单因素优化法和均匀设计法确定 *S. maltophilia* 产几丁质酶的最佳条件: 在 pH 值为 7.0 的基础培养基中添加质量分数为 1.0% 的酵母膏、质量分数为 0.5% 的胶体几丁质, 于  $180 \text{ r} \cdot \text{min}^{-1}$ , 30 °C 的摇床中培养 60 h。对硫酸铵沉淀获得的粗酶进行酶学性质研究, 结果表明, 该几丁质酶的最适反应温度为 50 °C, 最适反应 pH 值为 7.2, 在 55 °C 以上的温度条件下容易失活。通过聚丙烯酰胺凝胶电泳分析, 确定 *S. maltophilia* 几丁质酶的相对分子质量为  $6.8 \times 10^3$ ; 以筛选的 *S. maltophilia* 菌株的总 DNA 为模板, 利用聚合酶链式反应(PCR)扩增出几丁质酶 DNA 测序; 应用生物信息学手段推导 *S. maltophilia* 几丁质酶为分泌型蛋白酶, 预测其等电点 pI 值为 5.42, 相对分子质量为  $6.8 \times 10^3$ (与实验纯化的酶蛋白电泳结果一致)。预测该酶氨基酸序列具有信号肽区(氨基酸残基 1~41)、III型几丁质结合区(残基 47~92)、多囊肾病域(107~194)、类纤维连接蛋白 III型区(Fn3, 201~278)和 18 家族糖基水解域等 5 个结构功能区, 5 个区域被富含 Ala, Gly, Pro, Ser 和 Thr 的短序列连接起来; 在第 400~500 个氨基酸残基间有一个螺旋结构。

**关键词:** 几丁质酶; 嗜麦芽窄食单胞菌; 发酵培养; 分子结构; 生物信息学

中图分类号: Q 814. 1; Q 939. 96

文献标识码: A

几丁质酶(EC 3.2.1.14)广泛分布于自然界中的各种生物体中, 其生理作用涉及到生物体的生长发育、防御病原体, 甚至人的疾病发生过程<sup>[1]</sup>。它的纯品可应用于农业、医药业和轻工业<sup>[2-6]</sup>。很多种细菌都能够产生胞外分泌型的几丁质酶<sup>[7]</sup>, 但是不同细菌来源的几丁质酶有不同的分子结构和不同的作用机理。有一种 C3 菌株的嗜麦芽窄食单胞菌(*S. maltophilia*), 它不仅能够分泌几丁质酶, 同时还分泌产生蛋白酶(EC 3.4.21-24),  $\beta$  1, 3-葡聚糖酶(EC 3.2.1.58)和脂肪酶(EC 3.1.1.3)<sup>[8]</sup>。嗜麦芽窄食单胞菌产生的几丁质酶, 以及其他细菌产生的几丁质酶的特性研究比较少。本文报道运用实验方法和生物信息学方法, 研究一株从土壤中筛选得到的, 能够产生几丁质酶的嗜麦芽窄食单胞菌, 探讨其产酶条件及该菌产生的几丁质酶的有关特性。

## 1 材料与方法

### 1.1 菌株筛选和培养

土壤样本采自福建泉州市郊几丁质工厂的排污沟附近土壤中, 样品经 60 目筛过筛。将土壤样本稀释涂布在平板中, 挑取可以产生透明圈的菌落, 再一次通过稀释涂布的方法, 将其接种于纯几丁质平板和细菌几丁质平板上, 于 30 °C 下培养 72 h, 获得纯菌落平板。从第 2 次筛选的纯菌落平板上, 选取水解圈直径与菌落直径比最大的菌株, 接种于 50 mL 的种子培养基(LB 培养基)。培养 12 h 后, 接种于 100 mL 的细菌几丁质发酵培养基中, 于 30 °C 扩大培养。

### 1.2 培养基

(1) 筛选基培养基(质量分数): 可溶性淀粉 2.0%,  $\text{KNO}_3$  0.1%,  $\text{NaCl}$  0.05%,  $\text{K}_2\text{HPO}_4$  0.05%,  $\text{MgSO}_4 \cdot \text{H}_2\text{O}$  0.05%,  $\text{FeSO}_4$  0.001%, 胶体几丁质 0.5%, 琼脂 2.0%, pH=7.2~7.4。(2) 发酵液体

收稿日期: 2007-07-27

作者简介: 贺淹才(1949-), 男, 教授, 博士, 主要从事生物化学与分子生物学的研究。E-mail: yche@hqu.edu.cn

基金项目: 福建省自然科学基金资助项目(C04010011)

© 1994-2010 China Academic Journal Electronic Publishing House. All rights reserved. http://www.cnki.net

培养基(质量分数)。蛋白胨 0.03%, 酵母膏 0.03%,  $K_2HPO_4$  0.07%,  $MgSO_4 \cdot H_2O$  0.05%, 胶体几丁质 0.5%,  $KH_2PO_4$  0.03%, pH = 7.0~7.4.

### 1.3 酶活力测定方法

测定方法参见文[9], 采用还原糖量 3,5-二硝基水杨酸比色定糖法.

### 1.4 分子生物学试剂及测序服务

各种酶及试剂、TaKaRa 公司的 Agarose Gel DNA Fragment Recovery Kit Ver. 2.0 试剂盒等均购自上海生工生物技术公司. 引物合成和 DNA 序列测定由北京奥科生物公司进行.

### 1.5 超声波处理

在冰浴条件下超声波破碎菌体细胞壁, 测定破壁前后的几丁质酶的质量分数, 以判断是胞内酶, 还是胞外酶.

### 1.6 16S rDNA 鉴定

提取培养细菌染色体 DNA 作为模板, 16S rDNA 的两引物设计为: 5'-ACG GGC GGT GTG TAC-3' 和 5'-CCT ACG GGA GGC AGC AG-3'. 聚合酶链式反应(PCR)的反应条件为: 94 °C预变性 5 min, 94 °C变性 1 min, 50 °C退火 1 min, 72 °C延伸 1.5 min, 循环 35 次; 72 °C延伸 15 min; 4 °C保存, DNA 回收、纯化、测序.

### 1.7 *S. maltophilia* 产酶条件

设定培养基诱导物(胶质几丁质)的质量分数、pH 值、培养时间和培养温度为 4 个要素, 以 6 水平通过 DPS 软件得到均匀设计实验方案<sup>[10]</sup>进行产酶条件研究.

### 1.8 硫酸铵盐析和酶特性

将培养液于 4 °C, 10 000 r·min<sup>-1</sup>的离心机上离心 10 min, 取上清液经超滤浓缩后, 慢慢加入固体  $(NH_4)_2SO_4$  至 90% 的饱和度, 在 4 °C下过夜后, 于 10 000 r·min<sup>-1</sup>离心机离心 10 min, 弃上层清液, 收集沉淀, 用 pH = 8.0 的 0.1 mol·L<sup>-1</sup>  $Na_2HPO_4$  和 0.05 mol·L<sup>-1</sup> 柠檬酸缓冲液溶解沉淀并彻底透析. 所得到的酶制品进行酶反应的最适温度和热稳定性、酶反应的最适 pH 值和酸碱稳定性、电泳相对分子质量的确定等.

### 1.9 几丁质酶基因的克隆与酶蛋白结构的预测

以提取的培养细菌染色体 DNA(与 16S rDNA 的模板相同)作为模板, 几丁质酶编码基因 DNA 的引物根据 GenBank 上公布的 *S. maltophilia* 34S1 的 chiA 序列<sup>[11]</sup>, 设计出扩增几丁质酶基因 chiA 和包含 Hind III, EcoRI 两内切酶位点的 2 对引物, C1 为 5'-CCC AAG CTT GAA ACT GCA CGC CCG GCA TCA -3', C2 为 5'-CG GAATT CG GCC GAC TAC ACC AAA GG-3', C3 为 5'-CCC AAG CTT ACG GGG CCC ACC ATT GTA C -3', C4 为 5'-CG GAATT CG GCC GAA AAA CTG CAC CAA TCC -3'. 其中, 划线部分为内切酶酶切位点. PCR 条件为: 94 °C预变性 5 min, 94 °C变性 1 min, 60 °C 退火 1 min, 72 °C延伸 2 min, 循环 35 次; 72 °C延伸 10 min, 4 °C保存. 扩增产物回收、纯化、测序.

用 Clustal W 软件进行与其他产几丁质酶细菌 DNA 序列的多重比对, 用 PhyliP 软件作进化树, 用 Primer 软件推导出其蛋白序列. 最后, 采用在线蛋白质分析软件 ExRAsy Proteomics Tools (<http://cn.expasy.org/tools/>)、在线跨膜区分析软件 TM HMM 2.0 (<http://genome.cbs.dtu.dk/services/TMHMM-2.0>), 对该酶蛋白结构功能预测分析.

## 2 实验结果

### 2.1 分子生物学鉴定

从土样中筛选到的革兰氏阴性细菌, 无论是培养特性, 还是显微形态, 均与嗜麦芽窄食单胞菌 *S. maltophilia* 相象. 用在线的序列差异比较的 Blast 软件(<http://www.ncbi.nlm.nih.gov/blast>)进行同源性分析, 表明该菌 16S rDNA 序列与 *S. maltophilia* LMG11087, S-1 等的 16S rRNA 基因序列完全相同<sup>[12]</sup>. 确定该菌株确为 *S. maltophilia* 菌株.

### 2.2 生长条件与产酶条件

该菌在  $\text{pH} = 7.0$ ,  $30^\circ\text{C}$  的条件下, 培养的菌株自 12 h 开始产酶, 酶活力( $u$ )在震荡培养 60 h 达到最大值, 如图 1, 2 所示。由均匀设计实验方案研究发酵条件结果是, 在  $\text{pH}$  值为 7.0 的基础培养基中添

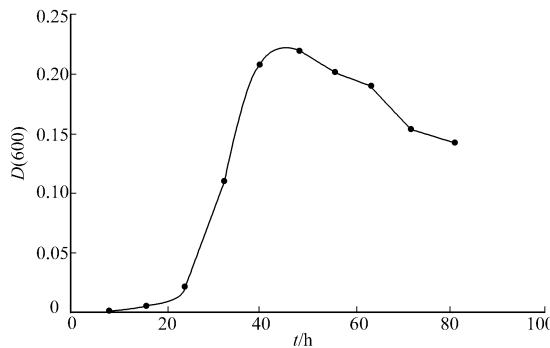


图 1 *S. maltophilia* 的生长曲线

Fig. 1 Growth curve of *S. maltophilia*

加质量分数为 1.0% 的酵母膏, 质量分数为 0.5% 的胶体几丁质, 于  $30^\circ\text{C}$  摆床( $180 \text{ r} \cdot \text{min}^{-1}$ ) 培养 60 h, 几丁质酶的产出最大。

### 2.3 胞外酶的鉴定

经超声波破壁处理, 处理前后的酶活力无变化, 说明该酶为分泌型胞外酶。

### 2.4 酶相对分子质量测定

经聚丙烯酰胺凝胶电泳(SDS-PAGE)分析, 酶提取物只显示一条蛋白带, 表明纯化后的几丁质酶为单一组分。该菌产生的几丁质酶的相对分子质量为  $6.8 \times 10^3$ 。

### 2.5 酶反应最适温度和最适 pH 值

图 3 为酶反应相对活力( $u_R$ )与温度( $\theta$ )关系。由图 3 曲线 1 可知,  $50^\circ\text{C}$  是几丁质酶酶促反应的最适温度; 而由图 3 曲线 2 可知, 该几丁质酶热稳定性在低于  $50^\circ\text{C}$  时相对比较稳定。当温度高于  $55^\circ\text{C}$  时, 酶活力迅速下降; 而当温度到  $60^\circ\text{C}$  时, 只保存了 20% 的酶活力。酶反应活力与 pH 值关系, 如图 4 所示。由图 4 可知,  $\text{pH} = 7.2$  是酶的最适 pH 值。几丁质酶与标准蛋白质 SDS-PAGE 的电泳结果, 如图 5 所示。

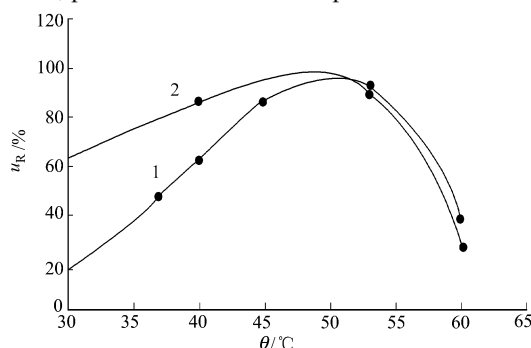


图 3 *S. maltophilia* 几丁质酶的活力与温度关系

Fig. 3 *S. maltophilia* chitinase reaction suitable temperature

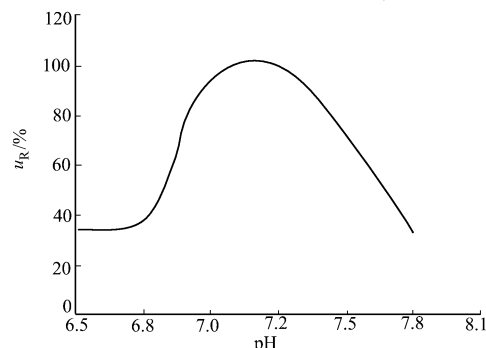


图 4 *S. maltophilia* 几丁质酶的活力与 pH 值的关系

Fig. 4 *S. maltophilia* chitinase enzyme's suitable thermostability

### 2.6 DNA 结构与同源性分析

基因的在线分析, 如图 6 所示。经同源性分析发现, 在 Gen Bank 中, chiA 的部分片段与 *S. maltophilia* 34S1 的 chiA, *M. xanthus* 的 USC7-1p 和 USC7-2p 基因序列(其中 USC7-2p 为类似几丁质酶基因)、*L. enzymogenes* N4-7 和 C3 的 chiA 和 4 个未鉴定的细菌几丁质酶基因有较高的同源性。但是, 与它们大部分片段没有同源性, 与其他来源的几丁质酶基因同源性更低。该菌与几种产几丁质酶的细菌用 Phylip 软件作进化树, 如图 7 所示。

### 2.7 蛋白质结构功能分析

根据软件分析预测, 该酶氨基酸序列具有信号肽区(氨基酸残基 1-41)、II型几丁质结合区(残基 47-92)、多囊肾病域(Polyzystic Kidney Disease Domain, 107-194)、类纤维连接蛋白 III型区(Fn3, 201-

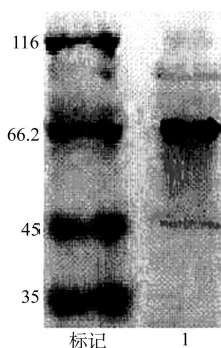


图 5 电泳结果图

Fig. 5 Result of SDS chitinase PAGE

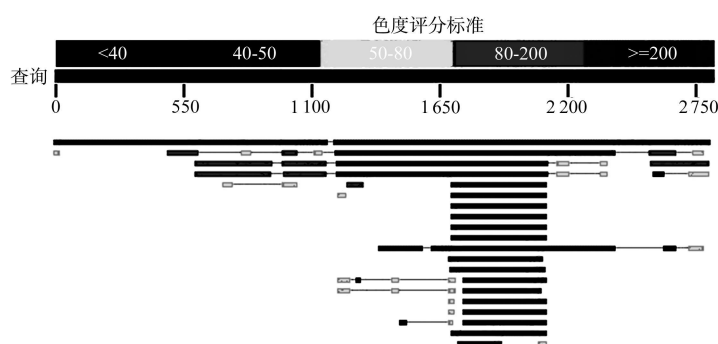


图 6 几种几丁质酶基因序列的比对分析

Fig. 6 The comparison of several chitinase gene sequences

278) 和 18 家族糖基水解域等 5 个结构功能区。5 个区域被富含 Ala, Gly, Pro, Ser 和 Thr 的短序列连接起来, 在第 400~500 个氨基酸残基间有 1 个螺旋结构。在线跨膜区分析软件 TM HMM 2.0 对其分析表明, ChiA 蛋白前端的信号肽是跨膜信号, 证明该酶是胞外分泌的蛋白。通过 ExPASy Proteomics Tools 中的 Compute pI/Mw 预测, 该蛋白的等电点为  $pI = 5.42$ , 总相对分子质量为  $7.24 \times 10^3$ , 而去掉信号肽后的相对分子质量为  $6.8 \times 10^3$ 。

### 3 讨论

很多种细菌都能够产生几丁质酶, 但是不同细菌来源的几丁质酶有不同的分子结构和不同的作用机理。由于对这些几丁质酶的性质研究不够, 对几丁质的利用和对几丁质酶的开发利用受到严重的制约。细菌几丁质酶的来源广泛, 种类繁多, 又缺乏足够数量的、提纯的酶制品, 对几丁质酶的物理化学的性质和特性的研究相对还比较少。

嗜麦芽窄食单胞菌 (*S. maltophilia*) 对多种抗菌药物耐药, 常成为严重的医院内感染菌, 且在非发酵菌中已占到第 3 位<sup>[13]</sup>。对嗜麦芽窄食单胞菌的鉴定目前尚无十分理想的方法, 按一般非发酵菌鉴定, 操作繁琐、费时。为此利用该菌的 16S rDNA 分子生物学方法成功地进行了鉴别。有 1 种 C3 菌株的嗜麦芽窄食单胞菌能够分泌几丁质酶, 同时还分泌产生蛋白酶,  $\beta$ -1, 3-葡聚糖酶和脂肪酶<sup>[8]</sup>。

本实验通过硫酸铵盐析得到的沉淀, 经过透析处理成酶粗制品, 样品中的蛋白经 SDS-PAGE 凝胶电泳, 确定酶蛋白的相对分子质量为  $6.8 \times 10^3$ 。该实验结果与应用生物信息学方法研究的结果相互一致。酶的相对分子质量和最适 pH 与其他细菌几丁质酶有较大的差异<sup>[11, 14]</sup>, 与测定这些细菌的基因同源性有较大的差异的结果是一致的。

本研究应用生物信息学方法分析表明, ChiA 蛋白前端的信号肽是跨膜信号, 推导该酶是胞外分泌的蛋白, 这已经过实验证实; 对培养的 *S. maltophilia* 菌体经超声波破壁处理, 处理前后酶活力无变化, 说明该酶为分泌型胞外酶。

应用生物信息学方法研究表明, *S. maltophilia* 几丁质酶的结构与大部分已知几丁质酶结构相似, 但是多个 PKD1 结构区。由于 Fn3 和 PKD 的结构类似, 在某些细菌糖基水解酶中也发现类似 PKD 的结构区的序列, 因此推测 PKD1 区也参与酶的水解过程。这还需通过实验证证。

### 参考文献:

- [1] HOLLAK C E M, WEELY S, VAN OVES M H J, et al. Marked elevation of plasma chitotriosidase activity, a novel hallmark of Gaucher disease[J]. J Clin Invest, 1994, 93: 1288-1292.

- [2] LORITO M, DIPIETRO A, HAYES C K, et al. Antifungal, synergistic interaction between chitinolytic enzymes from *Trichoderma harzianum* and *Enterobacter cloacae* [J]. *Phytopathology*, 1993, 83: 721-728.
- [3] DONNELLY L E, BARNES P J. Acidic mammalian chitinase a potential target for asthma therapy [J]. *Trends in Pharmacological Sciences*, 2004, 25(10): 509-511.
- [4] ROSE M D, WINSTON F, HIETER P. Methods in yeast genetics: A laboratory course manual [M]. New York: Cold Spring Harbor Laboratory Press, 1990.
- [5] ALOISE P A, LUMME M, AYNES C A. N-acetylglucosamine production from chitin waste using chitinases from *Serratia marcescens* [M]. Mazzarelli R A A. *Chitin Enzymology*. Italy: Ncona, 1996: 581-594.
- [6] USUIT T, HAYASHI Y, NANJO F, et al. Transglycosylation reaction of a chitinase purified from *Nocardia orientalis* [J]. *Biochim Biophys Acta*, 1987, 23: 302-309.
- [7] WU M L, CHUANG Y C, CHEN J P, et al. Identification and characterization of the three chitin binding domains within the multidomain chitinase Chi92 from *Aeromonas hydrophila* JP101 [J]. *Appl Environ Microbiol*, 2001, 67: 5100-5106.
- [8] ZHANG J Z, YUEN G Y. Effects of culture fluids and preinduction of chitinase production on biocontrol of bipolaris leaf spot by *Stenotrophomonas maltophilia* C3 [J]. *Biological Control*, 2000, 18(3): 277-286.
- [9] 吴志刚, 朱旭芬, 冯俊丽, 等. 气单胞菌几丁质酶的性质与发酵条件 [J]. 浙江大学学报: 理学版, 2003, 30(6): 687-696.
- [10] 方开泰, 马长兴. 正交与均匀试验设计 [M]. 香港: 漫会大学, 2000.
- [11] DONALD Y K, RALPH M R, JULIEANN B, et al. Characterization of a chitinase gene from *Stenotrophomonas maltophilia* Strain 34S1 and its involvement in biological control [J]. *Appl Environ Microbiol*, 2002, (3): 1047-1054.
- [12] MIYAJI T, OTTA Y, SHIBATA T, et al. Purification and characterization of extracellular alkaline serine protease from *Stenotrophomonas maltophilia* Strain S1 [J]. *Lett Appl Microbiol*, 2005, 41(3): 253-257.
- [13] MICOZZI A, VENDITTI M, MONACO M, et al. Bacteremia due to *Stenotrophomonas maltophilia* in patients with hematological malignancies [J]. *Clin Infect Dis*, 2000, 31: 705-711.
- [14] TAKEOMI M, SATOSHI A, TAKESHIMA, et al. Purification and characterization of a chitinase from *Amycolatopsis orientalis* with N-acetyllactosamine repeating unit releasing activity [J]. *Biochemical and Biophysical Research Communications*, 2005, 336: 514-520.

## Characterization of a Chitinase from *Stenotrophomonas maltophilia*

HE Yan-cai, LIU Ai-hua, ZHANG Rong-kui, LIU Zhi-jiang

(College of Material Science and Engineering, Huaqiao University, Quanzhou 362021, China)

**Abstract:** A strain of *Stenotrophomonas maltophilia* which produced extracellular chitinase was isolated from chitin rich soils of shrimp drying fields. The fermentation experiments showed that the suitable chitinase producing media were containing 1.5% colloid chitin and 1.0% yeast extract, and cultured for 60 hours ( $180 \text{ r} \cdot \text{min}^{-1}$ ) in shake flask. The optimal pH and temperature were 7.0 and 30 °C, respectively. The crude enzyme was obtained from the fermentation broth by ammonium sulfate precipitation process, the enzyme optimal temperature was 50 °C and pH was 7.2, respectively. The stability of chitinase decreased rapidly when the temperature get above 55 °C. The chitinase was  $6.8 \times 10^3$  by SDS-PAGE analysis. Some properties of this enzyme were deduced by bioinformatics method: this is a secretary protease; its molecular mass is  $6.8 \times 10^3$  (consistent with the result by extraction chitinase electrophoresis). The predicted pI is 5.42. The enzyme amino acid sequence has five domains: signal peptide (residues 1~41), type III chitin binding domain (Cht-BD3) (residues 47~92), polycystic kidney disease (PKD) domain (residues 107~194), fibronectin type III (Fn3) domain (residues 201~278), and family 18 glycosyl hydrolases (Glyco 18) catalytic domain. Spanning each of the five domains are short sequences full of Gly, Ala, Pro, Ser, and Thr. There is a helix structure between 400th~500th residues.

**Keywords:** chitinase; *Stenotrophomonas maltophilia*; fermentation culture; molecular structure; bioinformatics

(责任编辑: 黄仲一 英文审校: 陈国华)